

# 配電變壓器

## 衝擊試驗的幾個問題

武汉水利电力学院 黄齐嵩 刘伯涛

北京中冶试验所 冯树人

武汉水利电力学院印

1965·9

## 配电变压器冲击试验的几个问题☆

[REDACTED]

配冲变压器在运行中由于雷击引起高压侧绝缘损坏，在雷冲佔很大的比例。因此提出了采用冲击试验以提高高压侧绝缘的可靠性。上海申试所曾采用脉冲峰值电压表代替一次现象示波器作为测量仪表[文献1]，使试验大为简便。因此很多地区广泛开展了配冲变压器的冲击试验工作。但由于变压器冲击试验在国外有一些问题，还没有得到明确的解决。采用峰值电压表作为测量仪表时，在发现缺陷的灵敏度等方面还有许多问题。我们与北京申试所及北京铁道局修配厂合作，对配冲变压器冲击试验问题进行了试验分析。

试验系采用 1.5/40 微秒负极性冲击波，所用电压 满压为 72 千伏，半压为 36 千伏(10 千伏满压室)，脉冲峰值表及其他试验条件均与上海申试所提出的相同。被试变压器一二次匝数相等。图 1 为共试验线路简图。

☆ [注] 参加工作的有 [REDACTED]、王一萍和曹桂等同志。

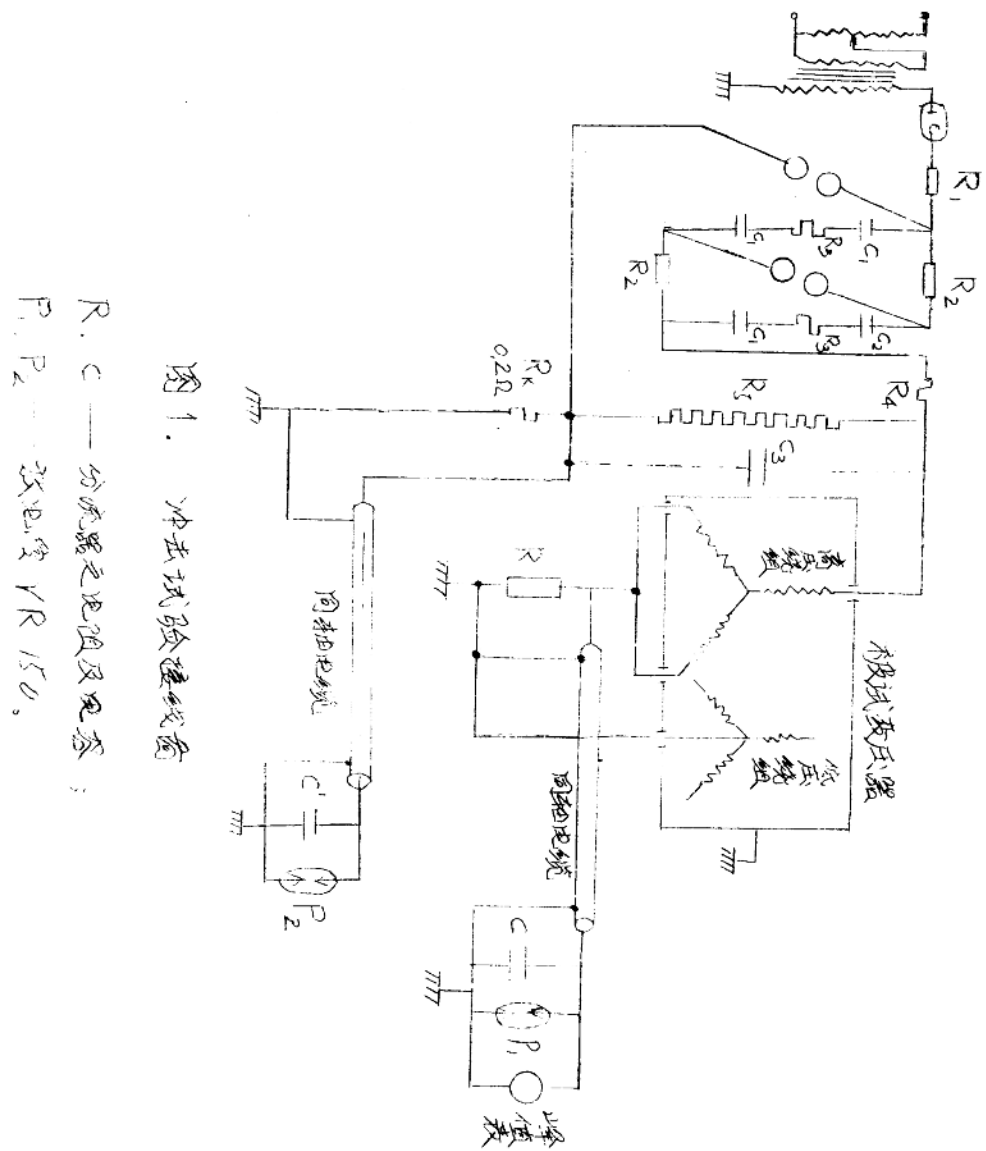


图 1. 冲击试验接线图

R, C — 分流器之电阻及电容；

$P_1, P_2$  — 灵敏度 VR 150。

## 关于分流器参数的选定

利用峰值表进行冲击试验时，判断变压器是否有匝间绝缘缺陷，系采用所谓“中性点电流法”。即在中性点接一分流器，在冲击电压作用下所形成的电流在分流器上产生电压差，以峰值表记录此电压差作为判断的根据。其基本原理是，当冲击电流作用于变压器绕组上时，将产生三部份电流：充电电流、振荡电流及地感电流。如变压器绕组有匝间或层间短路时，由于去磁作用使地感电流增大；因此在变压器绕组有缺陷和无缺陷时，分流器上的电压就出现差别。从图2可以看出：a)为变压器没有匝间缺陷，

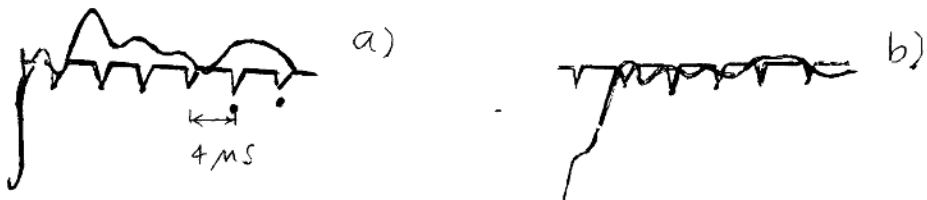


图2. 10/0.4 千伏，10千伏安单相变压器之中性点电流示波图。  
分路器  $R = 2\text{-千欧}$ 。

a) 为无匝间短路； b) 首端器匝短路。

b) 为有短路匝。因地感电流增加，故使波形移向坐标轴之下（变压器内极性）。因此在进行冲击试验时，判断变压器有无匝间缺陷的关键问题是要正确地将此电流反映出来。故分流器的参数，就直接影响测量效果及灵敏度。

关于分流器参数的选定，在采用示波器作为测量仪表时，也有不同意见。有人认为其时间常数应取50微秒[文献2]，有人则只采用5~15微秒[文献3]，上海申试所建议时间常数采用150~250微秒，且认为此时灵敏度最高。但我们认为，仅从满足一定时间常数的观点，选择分流器是不会错的。究竟没有反映示波器

中电阻及电容对记录中性点电流的作用。若只采用峰值表作为测量仪表时，它只测量的电流的一次最高幅值，更是如此。因此在试验中必须将三种电流区分开来，并应突出地反映出泄漏电流。这样才有效地判断变压器绕组是否有匝间绝缘缺陷。

我们知道，当采用纯电阻作为分流器时，从示波器上可以清楚地看出中性点电流的变化过程。当 $U_0$ 为 $10/0.4$ 千伏，100千伏安，采用 $R=1$ 千欧之纯电阻分流器所拍摄的示波图，从图中可以看出，有明显的充电电流和振荡电流（因无屏蔽而缺陷的变压器在冲击电压下感抗很大；故饱和电流不明显）。由于充电电流幅值



图3.  $10/0.4$ 千伏，100千伏安

三相变压器之中性点  
电流示波图；  
分流器， $R=1$ 千欧。  
(无匝间短路情况下 $U_0=36$ 千伏)



图4.  $10/0.4$ 千伏，100千伏安，

单相变压器无匝间短  
路之示波图。

分流器：  
 $R=1$ 千欧，  
 $C=0.02$ 微法法拉  
 $=36$ 千伏。

很高，会造成测量仪表的损坏，而且用峰值表作为测量仪表时，就只能记录此充电电流值。这样对变压器有无匝间缺陷，则无法判断。因此需串联一电容以降低此幅值。这样可以加大电阻，以提高测量的灵敏度。故一般在进行变压器冲击试验时，均采用 $R-C$ 混合分流器。当 $C$ 为采用混合分流器时之示波图。从中可以看出充电电流所产生的峰值已大为降低。

### 1) 混合分流器电容的确定

混合分流器的电容值，一般认为对配用电压器应得很大[文献4]。有人选用高达 $3$ 微法[文献3]，上海油试所推荐值为 $0.05 \sim 0.5$ 微法相差很大。为了正确地选定电容值，我们必须分析。电容对测

量所起的影响。当分流器串联电容时，冲击电流作用于变压器器身而产生的充油电流作用于电容上而形成电容。对于结构一定的变压器，此电荷量也一定。此时电位的大小在电阻达一定值时，则由分流器之电容值的决定。图5为100千伏安 $10/0.4$ 千伏三相变压器的中性点电流示波图。两者波形和幅值完全是一致的。这

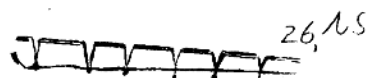


a) 分流器,  $C = 0.1$  微法。



b) 分流器  $R = 1$  千欧,  
 $C = 0.1$  微法(无阻尼短路)。

图5. 100千伏安 $10/0.4$ 千伏三相变压器(波度)  
之示波图。



a) 交流器,  $R = 1$  千欧,  
 $C = 0.25$  微法。



b) 分流器  $R = 1$  千欧,  
 $C = 0.1$  微法(无阻尼短路)。

图6. 100千伏安 $10/0.4$ 千伏三相  
变压器(供给)之示波图。

说明此时电阻对波形无影响。图6为另一台100千伏安 $10/0.4$ 千伏变压器中性点电流示波图。

由图中可以看出：电容愈增加，幅值愈降低；图6系分流器之电容放大 $\times 2.5$ 倍，而波形幅值则小 $\times 2.5$ 倍。因此充油电流在分流器上所引起的电位只与电容有关。

当采用峰值表作为测量仪表时，为了使峰值表能明显地指示出油流电流所产生的电位差，我们希望采用较大的电容，使充油电流所产生的电位很低。但是电容数值太大，又会使油流电流所产生的电位差减低。

图7为 $10/0.4$ 千伏安的三相阻尼短路，采用不同C值时之中性点电流示波图。图7为 $10/0.4$ 千伏三相变压器有

~6~

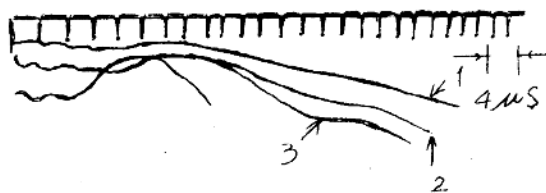


图7. 100伏单相整流器有X压短路时示波器

波形1. 分流器,  $R=1$  千欧, 滤容=0.1 微法;

“ “ 2. 分流器, “ “ , “ =0.5 “ ;

“ “ 3. 分流器, “ “ , “ =0.02 “ 。

a).



b).



图8. 75伏安, 100伏单相整流器丙压短路之示波器。

a). 分流器  $R=1$  千次,  $C=0.01$  微法;

b).  $R=1$  千欧  $C=0.1$  微法; 波形1—电压36伏, 波形2—滤波72伏。

丙压短路, 分流器有不同滤容值时(a及b)之示波器, 由内可看出: 当分流器之滤容增大时, 由电流所产生的滤位差(波形后半部)亦降低, 故为了提高测量的灵敏度, 又应采用较小的滤容值。但滤容太小又不能使充电电流所产生的滤位降低, 由图9及10中可以看出, 只有当滤容达到一定数值时, 才能使充电电流所

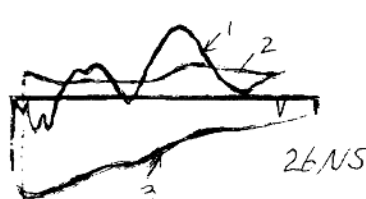


图9. 100伏三相整流器之示波器(无滤波器)

波形1 分流器  $R=1$  千欧;

“ “ 2. “ “ , “  $C=0.02$  微法;

“ “ 3. “ “ , “  $C=0.03$  “ ” 。

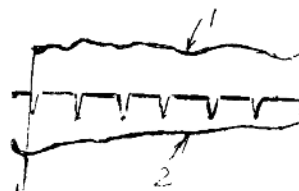


图10. 100伏320伏安, 三相  
整流器之示波器(无滤波器)

波形1 分流器  $R=1$  千欧  $C=0.05$  微法

“ “ 2. “ “ , “  $C=0.1$  “ ” 。

于分流器的数值降低。我们根据不同容量单相及三相配电变压器试验结果，建议对不同容量的配电变压器进行冲击试验时，分流器之比容取  $0.02 \sim 0.2$  微法。

## 2) 混合分流器电阻值的选定。

混合分流器电阻值的大小对充油变压器产生的波形是无影响的。但这只有在电阻达到一定值时才成立。这是因为阻值太低，时

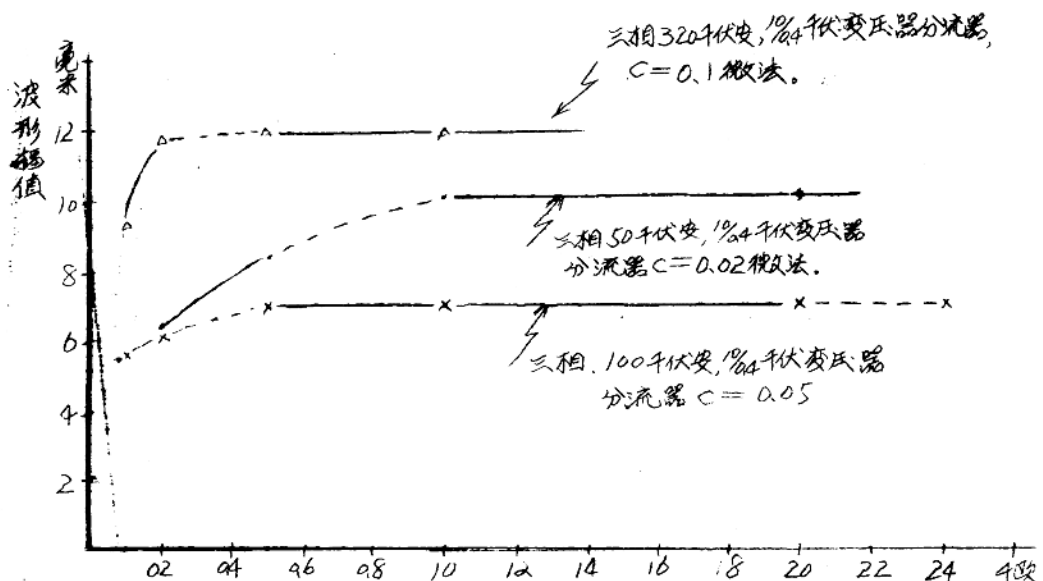


图11. 不同容量之变压器当电容一定时波形系数与分流电阻之关系。(12毫秒 = 300伏)。

阻值做太小而影响数值。图11表示分流器电阻一定时，该波系数值与电阻值的关系，由曲线(300伏 = 12毫秒)。由图中可以看出，当电阻分别大于500欧及1000欧时电阻值对波形系数即无影响。当然这还随电容大小及变压器结构不同会有所改变。

对冲击电流来说，电阻数值对波形系数将起很大的影响，由图11中看出，当电容一定时，电阻增大(曲线2)波形系数(冲击电流所产生的电阻差增大)一个二、所以从提高测得灵敏度出发，

应采用较小的电阻。但太大又会影响伏表的安全，特别是出现层间短路时，电流的幅值将很大，如图 13 所示，故本不宜过高。

根据我们的试验结果，建议电阻的数值取  $5000 \sim 500$  欧。

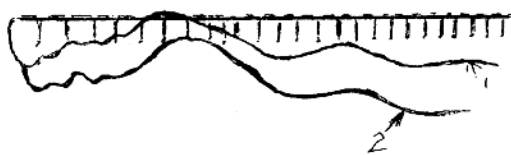


图 12.  $10/0.4$  千伏单相变压器七匝  
层间短路时示波器。

波形 1. 分流器,  $R=0.2$  千欧,  $C=0.2$  微法;  
2, " " "  $R=0.5$  " " "。



图 13.  $100$  千伏安  $10/0.4$  千伏三相  
变压器有层间短路时之  
示波器。分流器,  $R=4$  千欧  
电阻  $<20$  千伏。

### 3) 混合分流器时间常数

上面谈到分流器必须首先满足一定的电容值和电阻值。但为了进一步提高测量灵敏度, 也需要保证一定的时间常数。因为时间常数太小, 充流电流所形成的电流会很快下降。图 14 为两个不同时间常数之示波图。由图可以看出, 时间常数 ( $RC=10$  微秒) 较小时, 在短路故障时 (因线圈大而时间常数较大 ( $RC=320$  微秒)) 时, 波形则慢慢下降。这样如果因浪涌在分流器上的电压差较



图 14  $10/0.4$  千伏,  $320$  千伏安, 三相变压器示波器。(无层间短路)

波形 1. 分流器, 电阻 =  $0.5$  千欧,  $C=0.1$  微法;  
" " 2. " "  $R=0.1$  千欧,  $C=0.1$  " "。

以叠加至上面, 容易显示出来。当用峰值表测量时, 可提高灵敏度。这一点可由图 14 之具有层间短路之表; 黑的示波器看去, 该表波形 3 因时间常数较小 ( $RC=20$  微秒), 故从头开始降低, 然后才缓慢上升, 而波形 1 则因时间常数较大 ( $RC=100$  微秒) 其

波形即无下凹现象，因此三分流器的时间常数取100 微秒左右较为适合。如太大则会因电容值太高而降低灵敏度，或因增大电阻而危及测量设备。

从以上分析可知，当选定分流器的参数时，应首先满足一定的电容值，然后确定电阻，以保证一定的时间常数。这样才能保证在测量中有较高的灵敏度。根据我们试验的结果，对各种不同容量配电变压器进行冲击试验时，分流器之参数可按表一选定。

表一 不同容量配电变压器分流器之参数

变压器容量 千伏安	电容值 微法	电阻值 欧	时间常数 微秒
50 及以下	0.02~0.03	5000~3000	100~90
100~180	0.05~0.08	2000~1200	100~96
320 以上	0.1~0.2	1000~500	100

## 层间绝缘短路的判断

目前在配电变压器冲击试验中，判断有无匝间绝缘损坏的依据，系根据满压与半压下峰值表读数的比值及霓虹灯是否亮，如满压与半压下的比值超过 $2 \sim 3$ 倍，同时霓虹灯亮，则认为变压器有层间或匝间短路。但在试验中时常出现同一台变压器在改变分流器的电阻电容值时（保证一定的时间常数）此比值即改变。甚至对本来被判断为无匝间缺陷之变压器，改变分流器之阻容值后进行试验，满压与半压之比值却超过 $2 \sim 3$ 倍，被判断为有匝间绝缘缺陷，因此佛委对此判断标准进行分析。

有人曾提出，因为磁饱和现象使满压与半压下电流不是两倍关系。（文献⑥），但根据我们试验结果，在有匝间短路的情况下，由于感抗大，故在满压与半压下其电流的差别并不明显（图8 a，特别是无匝间短路之变压器，其特性点电流中的负脉冲流（没有显示出来）故所测得的主要是在充电电流。此电流值在满压与半压时之比值完全是两倍关系，如图15所示。所以用峰值表



图 15

10/0.4 千伏 180 千伏安三相变压器在 72 千伏（波形 1）及 36 千伏（波形 2）之示波图。无匝间短路。

分流器， $R = 1$  千欧， $C = 1.5$  微法

测量时出现的 $2 \sim 3$ 倍现象不是变压器本身的本身所引起的。为此我们对峰值表进行了校验，图 16 为 $3/40$  微秒冲击电压（ $0.5/40$  及  $1.5/40$  冲击波亦相同，因幅值未校正故未标出）时不同电压与峰值表指示之关系。表二为峰值表在不同指示范围满压与半压

表二 冲击电压下峰值表在不同测量范围时端压与半压之比值

读数范围		0~50格	0~100格	0~150格	0~200格	0~250格
比 值	一档	2.60	2.33	2.15	2.12	2.10
	二档	2.25	2.11	2.07	2.06	2.05
	三档	2.34	2.16	2.11	2.10	2.06

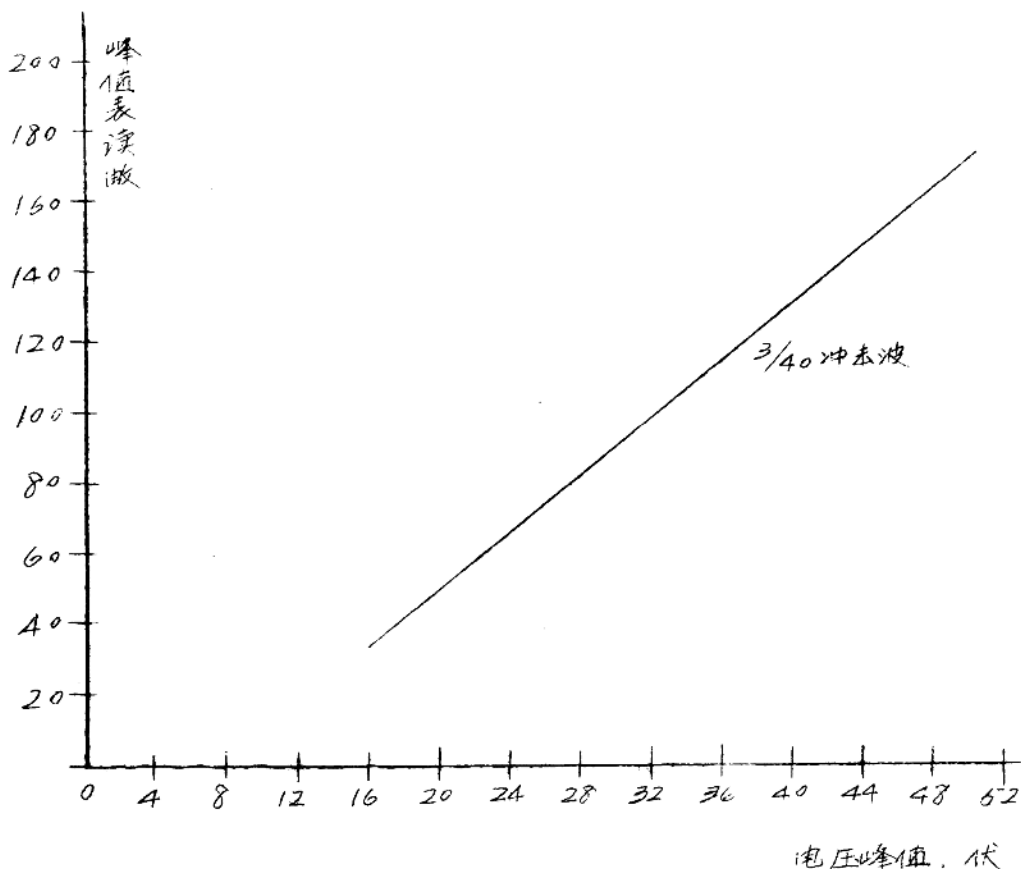


图 16 频及冲击电压下电压峰值与表的读数关系

的比值。由此可见看出，满压与半压之比值不等于二，是由峰值表读数不均匀所引起的。而且电压不同其比值即改变。

为了在冲击试验中使峰值表能更明确判断变压器有无匝间绝缘缺陷，故应改进现有峰值表，使其读数与电压成正比关系。此外由于目前试验中时常在半压下即出现层匝绝缘损坏现象，故为了有利于判断缺陷，其校准值不应采用半压，最好采用 $\frac{1}{3}$ 满压或更低的电压与满压之间的比值来确定作为判断标准。这样在校准电压时，将保证没有层匝绝缘击穿现象。当变压器内部有缺陷时，在满压下即发生击穿，峰值表两种电压下读数的比值也就必然超过两种电压的比值。这样会更有利于判断。

### 峰值表发现匝绝缘缺陷的灵敏度

利用峰值表进行冲击试验，其发现缺陷的灵敏度如何？目前均未明确。国内外资料均认为，用示波器作为指示仪表时，发现缺陷的灵敏度可达 $0.03\%$ 。但这些试验都是在单相变压器上所测得的结果。当三相变压器中性点不能引出，而借用图17之接线方式（目前多用这种接线）时，其灵敏度如何？

需进一步明确。

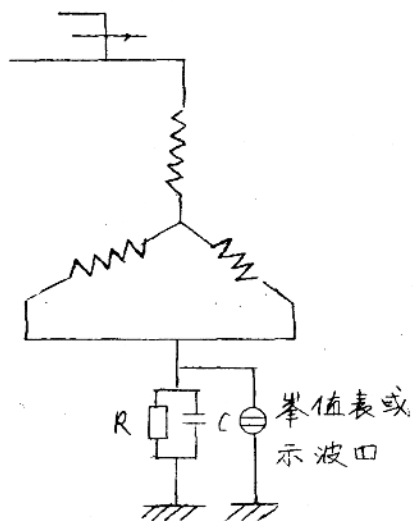


图17. 三相变压器中性点

不能引出时进行冲击试验的接线图。

~13~

图 18 为  $10/0.4$  千伏单相变压器一匝短路之示波图（匝数 = 3400）。将此图与图 4 比较，可以看出，有一匝短路时，因电感电流增大使波形明显升高。故发现缺陷的灵敏度为 0.029%，即高于 0.03%。对于三相 75 千伏及  $10/0.4$  千伏变压器（匝数 = 1700），有一匝短路（a）及无匝间短路（b）之示波图，如图



图 18.  $10/0.4$  千伏单相变压器一匝短路时之示波图。

分流计， $R = 2$  千欧， $C = 0.05$  微法，

电压 = 36 千伏。

19 所示。由图中可以看出两者没有区别（图 19 b 之后半部份与 a 相同）。当有两匝短路时，则示波图出现明显改变（图 8 a）。

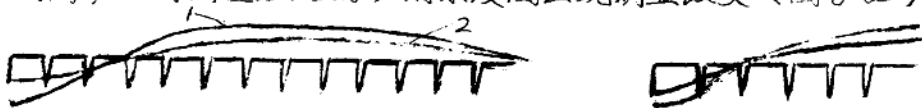


图 19.  $10/0.4$  千伏，75 千伏及三相变压器有一匝短路  
(a) 及无匝间短路 (b) 时之示波图，分流计，  
 $R = 14$  欧， $C = 0.01$  微法。曲线 1，电压  
72 千伏；曲线 2 电压 36 千伏。

此时发现缺陷的灵敏度仅 0.118%，大大低于上述灵敏度。因此不能认为采用示波计时，在任何情况下，灵敏度均很高。

采用峰值表时，因它只能指示一次最高幅值。故当变压器短路匝数占总匝数之比很小时，其电感电流在分流计上所产生的电位差不超过电容电流所产生的电位的幅值（如图 18），这样就利用峰值表之法来发现。因此其灵敏度必然较低。表三为利用峰值表对  $10/0.4$  千伏单相变压器进行冲击试验之测量结果。

表三 利用峰值表作为测量设备之试验结果

短路匝数	峰值表指示情况					档别	电阻千欧	电容微法	备注
	50%试验电压	100%试验电压							
无短路匝数	60 65 60	140. 140. 140				1	1	0.25	* 表示亮
4	" (不短路)	160 165 170				1	1	0.25	霓虹灯亮
5	" ("")	250* 250* 250*				1	1	0.25	亮

从表中可以看出，按现有规定只有在 5 匝短路时表的指示才出现超过 3 倍（满压与半压比值），同时霓虹灯发亮。其发现缺陷的灵敏度为 0.147%。但从表中还可以看出，变压器有 4 匝短路时满压下之电流较无匝间短路时已有明显的增加。因满压与半压之比不超过 3 倍，按规定不能判断为有匝绝缘缺陷，但如果将峰值表校准为均匀读数使满压与半压比值正常时为 2，则可能发现 3—4 匝或更少的匝间短路。从同等情况来说，利用峰值表是采用图 17 之接线时，是不能发现一匝短路的。这一点可由上面谈到的一台 75 千伏安试验结果看出。当有一匝短路时，峰值表指示正常。两匝短路时，满压下峰值表指示满刻度（超过 3 倍），霓虹灯曾发亮（从示波图 8 及 19 也可以看出），另外由运行中之试验结果也可以证明：例如一台 100 千伏安，10/0.4 千伏变压器在试验时发现 C 相有匝间短路，其他两相完好。但在分相试验时又发现 A 相有匝间短路现象，解剖后发现 C 相为层间短路，A 相则系第十层末端第一匝与第十一层首端第一匝间有匝间短路。这也说明了如采取分相试验，则灵敏度可提高。此后变压器为 1300 匝，其灵敏度为 0.072%。从上面的试验结果可以得知本试验时发现匝绝缘故障的灵敏度是与变压器绕组的总匝数及接线方式有关。应用峰值表作为测量仪表时，不能发现单匝匝间缺陷，其发现缺陷的灵敏度较用示波图为低。但如改进现有之表，则发现缺陷的灵敏度将可提高。

## 参 考 文 献

1. 技术资料选集，高压部分 I . 华东电管局中试所.
2. E. C. Rippen the detection by oscillographic of winding failures during impulse tests on transformers Proc IEE 1939. part II №53
3. L. V. Суровицкий и д. Техника высоких напряжений Том III Г192 1959
4. T. H. Hogenruth. Stopprüfung von Transformatoren nach amerikanischer Praxis ETEA 1955  
S. 828
5. Nichtlinears Verhalten des Sternpunktstromes bei der Stoppspannungsprüfung von Transformatoren ETEA 1965 S. 56.
6. Устройство и методика измерения нелинейности трансформаторов. ЭКРУ. Изд. Научн. 1963. №7.